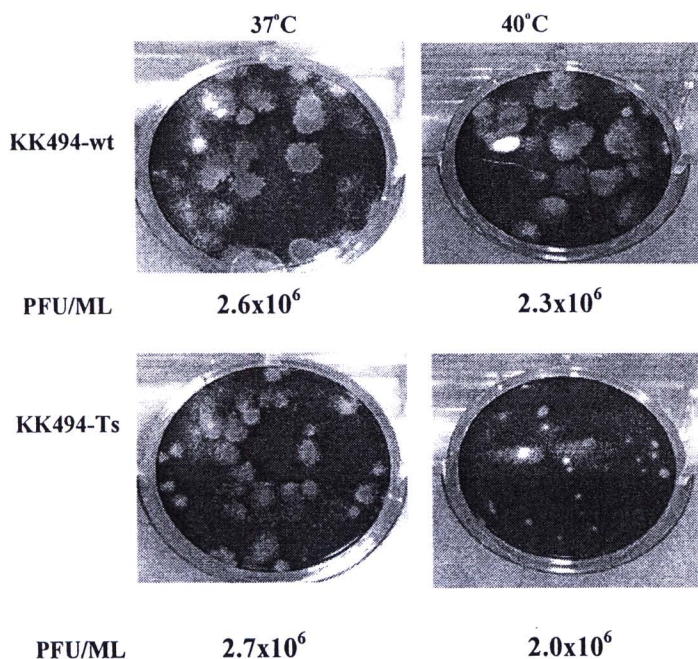


## ผลการทดลอง

### 1. การคัดเลือกไวรัส H5N1 ให้มีความบกพร่องในการเจริญเติบโต ณ อุณหภูมิ 40 องศาเซลเซียส

จากการศึกษานี้ได้ทำการเลี้ยงไวรัส H5N1 (A/Thailand/5(KK-494)/2004(H5N1) ซึ่งได้รับความอนุเคราะห์มาจากแลปของอาจารย์ พิไลพันธ์ พุธวัฒน์ ให้เจริญใน MDCK ณ อุณหภูมิ 33 °C (อุณหภูมิในโครงจมูก) หลายๆ passage ตามวิธีที่กล่าวไว้ข้างต้นและดังแสดงรายละเอียดในรูปที่ 1 เพื่อให้ได้ไวรัสที่เมื่อเทียบกับ wild type (KK494) และเป็นไวรัสที่มี plaque ขนาดเล็กลง ที่ 40 °C แต่มี plaque ขนาดเท่ากับ wild type ที่ 37 °C ซึ่งจากวิธีการดังกล่าวหลังจากการเลี้ยงไวรัสไปได้ 5 passages ทำให้สามารถคัดเลือกไวรัสที่มีลักษณะตามที่ต้องการดังแสดงในรูปที่ 5

Plaque of KK494 (H5N1) wt and Ts



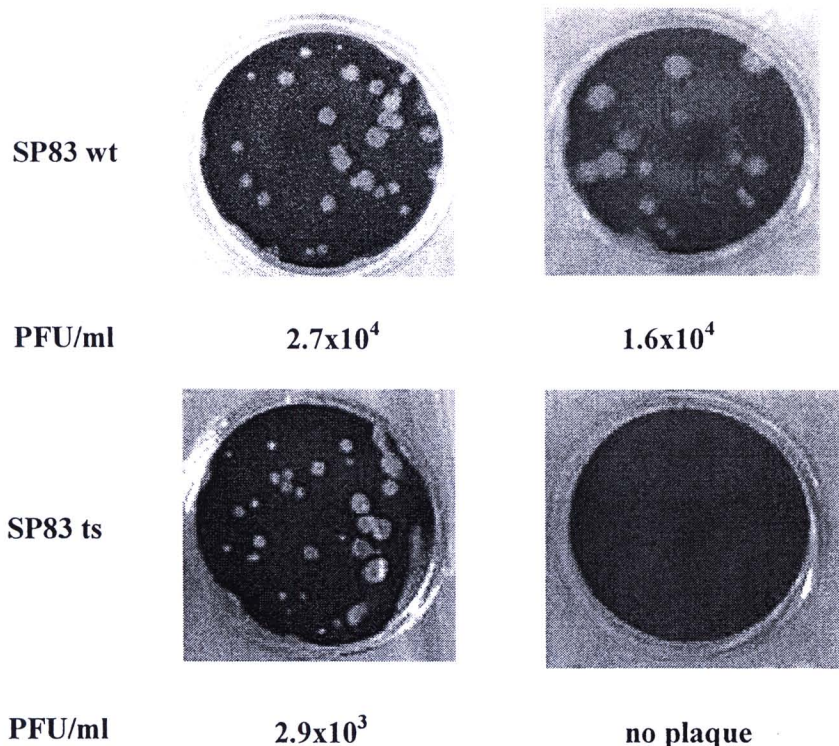
รูปที่ 5 ภาพแสดงการเปรียบเทียบขนาดของ plaque ของไวรัส KK494- wt และ KK494-ts ณ อุณหภูมิ 37 °C และ 40 °C, (PFU/ML : Plaque Forming Unit/ ml)

นอกจากนี้ยังได้ทำการทดสอบ growth kinetics ของ Temperature sensitive mutation (KK-Ts) ที่อุณหภูมิ 37 °C และ 40 °C พบว่า ไวรัสที่คัดเลือกมา (KK-Ts) สามารถเจริญเติบโต ที่อุณหภูมิ 40 องศาเซลเซียส ได้น้อยกว่า 37 องศาเซลเซียส ถึง 2 เท่า (37C มี HA titer = 256, 40°C มี HA titer =

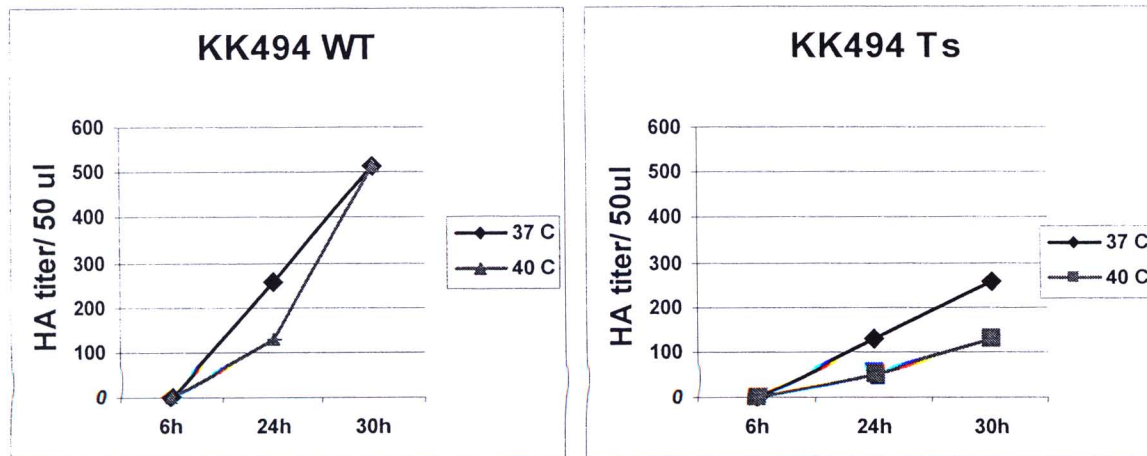
128) และเมื่อเทียบ KK-Ts กับ KK-wild type พบว่า Ts โดยที่ อุณหภูมิ 37 °C ได้ช้ากว่า wild type ประมาณ 2 เท่า (Ts มี HA titer = 256, WT มี HA titer = 512 ) และเจริญเดิบໂດໄດ້ນ้อยลงที่อุณหภูมิ 40 °C (ซึ่งเป็นลักษณะที่พบใน human influenza virus) ถึง 4 เท่า (Ts มี HA titer = 128, WT มี HA titer = 512 ) ณ 30 ชั่วโมงหลัง infection ในขณะที่ KK-WT โดยได้พ่อๆกันทั้งสองอุณหภูมิ ดังแสดงในรูปที่ 7

มีปัญหาที่เกิดขึ้นระหว่างทำการทดลองคือ ตู้เย็นที่ทำการเก็บเชื้อไวรัส KK-Ts เสียเนื่องจากไฟตกทำให้มีน้ำไวรัสซุดเดิมมากทดสอบ kinetic growth curve ใหม่พบว่า ลักษณะ phenotype ของไวรัส KK-Ts ไม่เหมือนเดิม เมื่อศึกษา kinetic growth curve ของ KK-WT เทียบกับ KK-Ts พบว่า KK-WT ยังคงมีความสามารถในการเจริญเดิบໂດที่ 40°C ได้ดีกว่าที่ 37 °C แต่ KK-Ts ไม่มีความสามารถในการเจริญเดิบໂດของทั้งสองอุณหภูมิ ดังแสดงในรูปที่ 8 และเมื่อทำการทดสอบเพิ่มเติมโดยการเลี้ยงไวรัส KK-Ts (P5) ต่อไปอีกจนได้ passage 5 ครั้งที่ 2 (P5.2) และpassage 10 (P10) ก็พบว่าลักษณะ phenotype ของไวรัสดังกล่าวในการเจริญที่ 37 °C และ 40 °C ก็ไม่แตกต่างกันเช่นกัน ดังแสดงในรูปที่ 9 ดังนั้นผู้จัยได้เลี้ยงไวรัสสืกตัวหนึ่ง A/Thailand 3/SP83/2004(H5N1) ณ อุณหภูมิ 30 °C 5 passage 27 °C 9 passage และ 25 °C 6 passage ใน MDCK cell ตามที่แสดงในรูปที่ 2 ซึ่งไวรัสดังกล่าวถูกเรียกชื่อว่า SP83 ts20 ซึ่งไวรัสนี้ไม่มีการ form plaque เลยที่ 40 °C แต่ยังสามารถเจริญได้ที่ 37 °C (รูปที่ 6) จากนั้นไวรัสดังกล่าวได้ถูกนำไปศึกษา kinetic growth curve เทียบกับ SP83 WT ณ อุณหภูมิ 37 °C และ 40 °C โดยใช้ปริมาณไวรัส moi เท่ากับ 0.0001 infect เชื้อใน MDCK cell ซึ่งจากการทดลองทั้งจากการทำ HA assay และ plaque assay พบว่า SP83ts20 เจริญได้ช้ากว่า SP83 WT ที่ 37 °C ประมาณ 0.5- 1 log และเจริญไม่ได้เลย ณ 40 °C ซึ่งต่างจาก SP83 WT ถึง 4-6 log ดังแสดงในรูปที่ 10 ซึ่งจะเห็นว่าไวรัสดังกล่าวมีลักษณะ phenotype เป็น temperature sensitive (Ts) mutant ที่ชัดเจนกว่า KK494Ts ดังนั้นไวรัส SP83 WT และ SP83ts20 จะถูกนำมา cloning ยืนทั้งหมดเพื่อใช้ศึกษาในที่มีส่วนสำคัญต่อการแสดงออกของลักษณะ phenotype ของการเจริญที่ 40°C

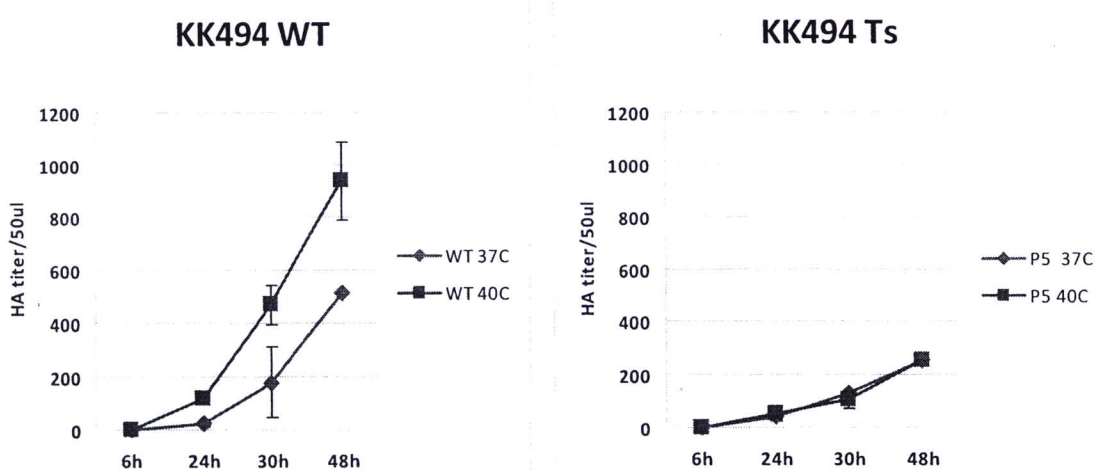
Plaque of SP83 (H5N1) wt and Ts  
 $37^{\circ}\text{C}$                              $40^{\circ}\text{C}$



รูปที่ 6 ภาพแสดงการเปรียบเทียบขนาดของ plaque ของไวรัส SP83- wt และ SP83-ts ณ อุณหภูมิ  $37^{\circ}\text{C}$  และ  $40^{\circ}\text{C}$ , (PFU/ML : Plaque Forming Unit/ ml)



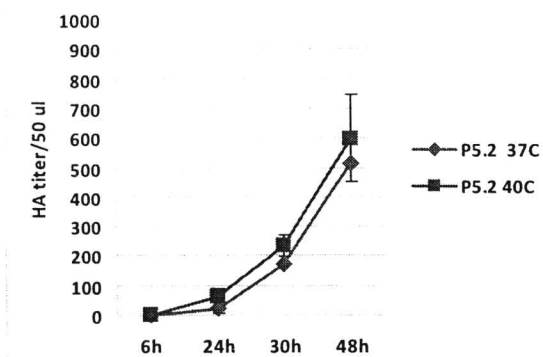
รูปที่ 7 ภาพแสดงการเปรียบเทียบ kinetic growth curve ระหว่างไวรัส KK494- wt และ KK494-Ts อุณหภูมิ 37 °C และ 40 °C การทดลองที่ 1 โดยแสดงปริมาณเป็น HA titer/50 ul ซึ่งค่าที่แสดงได้มาจากการทำซ้ำกัน 3 ครั้ง



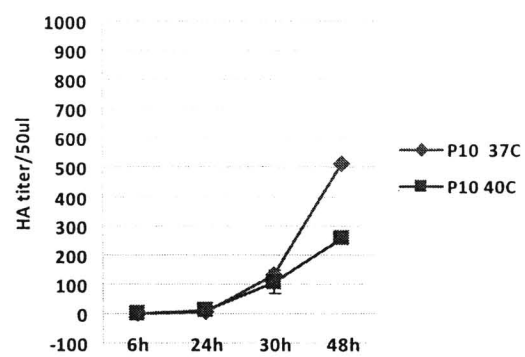
รูปที่ 8 ภาพแสดงการเปรียบเทียบ kinetic growth curve ระหว่างไวรัส KK494- wt และ KK494-Ts ใน MDCK cell ณ อุณหภูมิ 37 °C และ 40 °C การทดลองที่ 2 โดยแสดงปริมาณเป็น HA titer/50 ul ซึ่งค่าที่แสดงได้มาจากการทำซ้ำกัน 3 ครั้ง



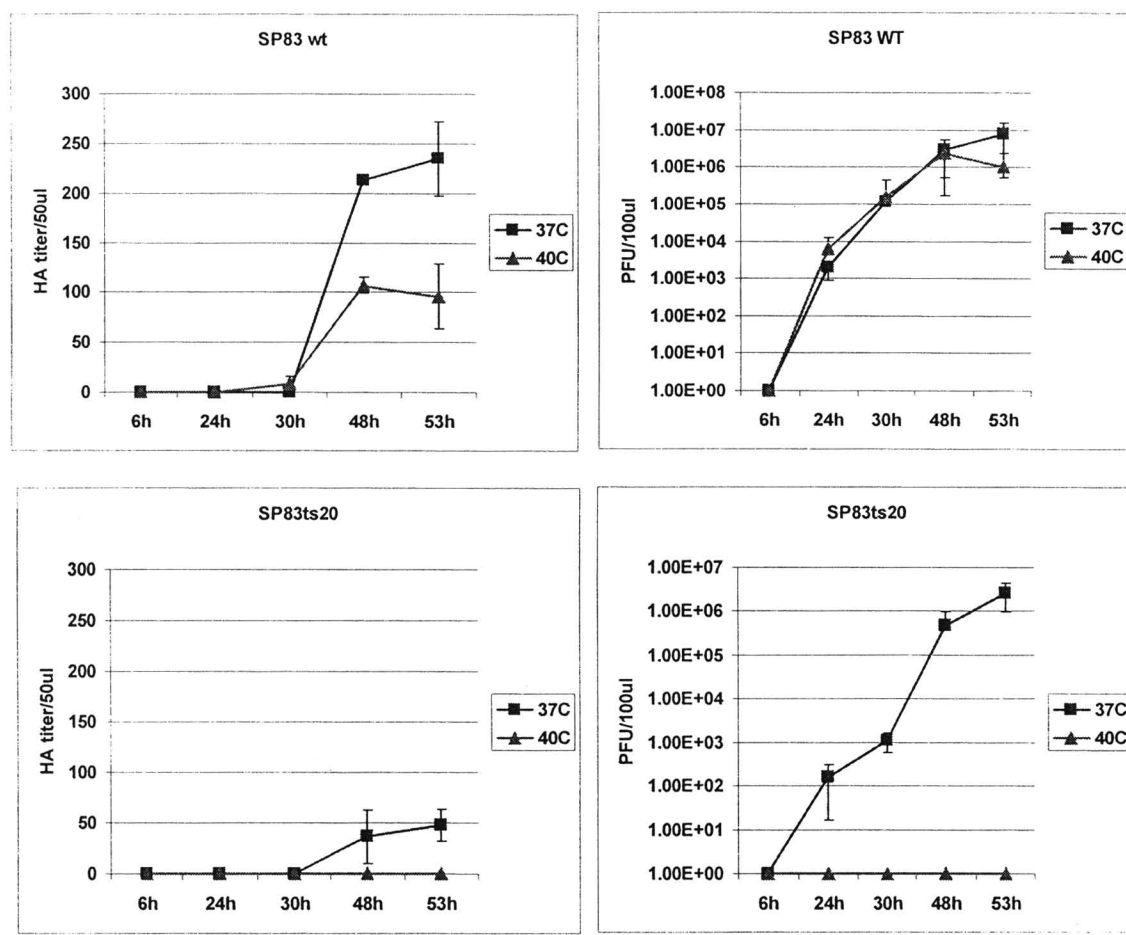
P5.2



P10



รูปที่ 9 ภาพแสดงการเปรียบเทียบ kinetic growth curve ไวรัส KK494-Ts passage ที่ 5 ครั้งที่ 2 (P5.2) และ passage 10 (P10) ใน MDCK cell ณ อุณหภูมิ 37 °C และ 40 °C โดยแสดงปริมาณเป็น HA titer/50 ul ซึ่งค่าที่แสดงได้มารจากการทำซ้ำกัน 3 ครั้ง



รูปที่ 10 ภาพแสดงการเปรียบเทียบ kinetic growth curve ระหว่างไวรัส SP83 WT และ SPts20 ใน MDCK cell ณ อุณหภูมิ 37 °C และ 40 °C โดยแสดงปริมาณเป็นHA titer/50 ul และ PFU/100 ul ซึ่งค่าที่แสดงได้มาจากการทำซ้ำ 3 ครั้ง

2. การศึกษาหารยีนและตำแหน่ง point mutation ในยีโนมของไวรัสไข้หวัดนกที่สำคัญต่อการเจริญเติบโตที่ 40 องศาเซลเซียส

จากการศึกษา nucleotide sequence และ amino acid sequence จากไวรัส SP83 wild type และ temperature sensitive (Ts) virus พบว่า mutation ที่พบล้วนเป็นส่วนประกอบของ polymerase complex ของไวรัสทั้งสิ้น ซึ่งได้แก่ PB2 3 ตำแหน่ง, PB1, PA และ NP ยีนละ 1 ตำแหน่ง ดังแสดงรายละเอียดในตารางที่ 2 และ 3 ดังนั้นยีนและตำแหน่ง point mutation ต่างๆเหล่านี้จะมีบทบาทสำคัญต่อการเจริญของเชื้อ ณ อุณหภูมิ 40 °C

ตารางที่ 4 แสดงตำแหน่ง nucleotide mutation ของ SP83 temperature sensitive (Ts) phenotype เปรียบเทียบกับ (H5N1) wild type

gene	nucleotide position	Wild type (WT)	Temperature sensitive (Ts)
PB2	582	A	T
	583	G	T
	1772	A	G
PB1	1660	G	A
PA	1343	C	A
NP	941	G	A
gene	nucleotide position	Wild type (WT)	Temperature sensitive (Ts)
HA	-	-	-
NA	-	-	-
M	-	-	-
NS	-	-	-

ตารางที่ 5 แสดงตำแหน่ง amino acid mutation ของ SP83 temperature sensitive (Ts) phenotype เปรียบเทียบกับ (H5N1) wild type

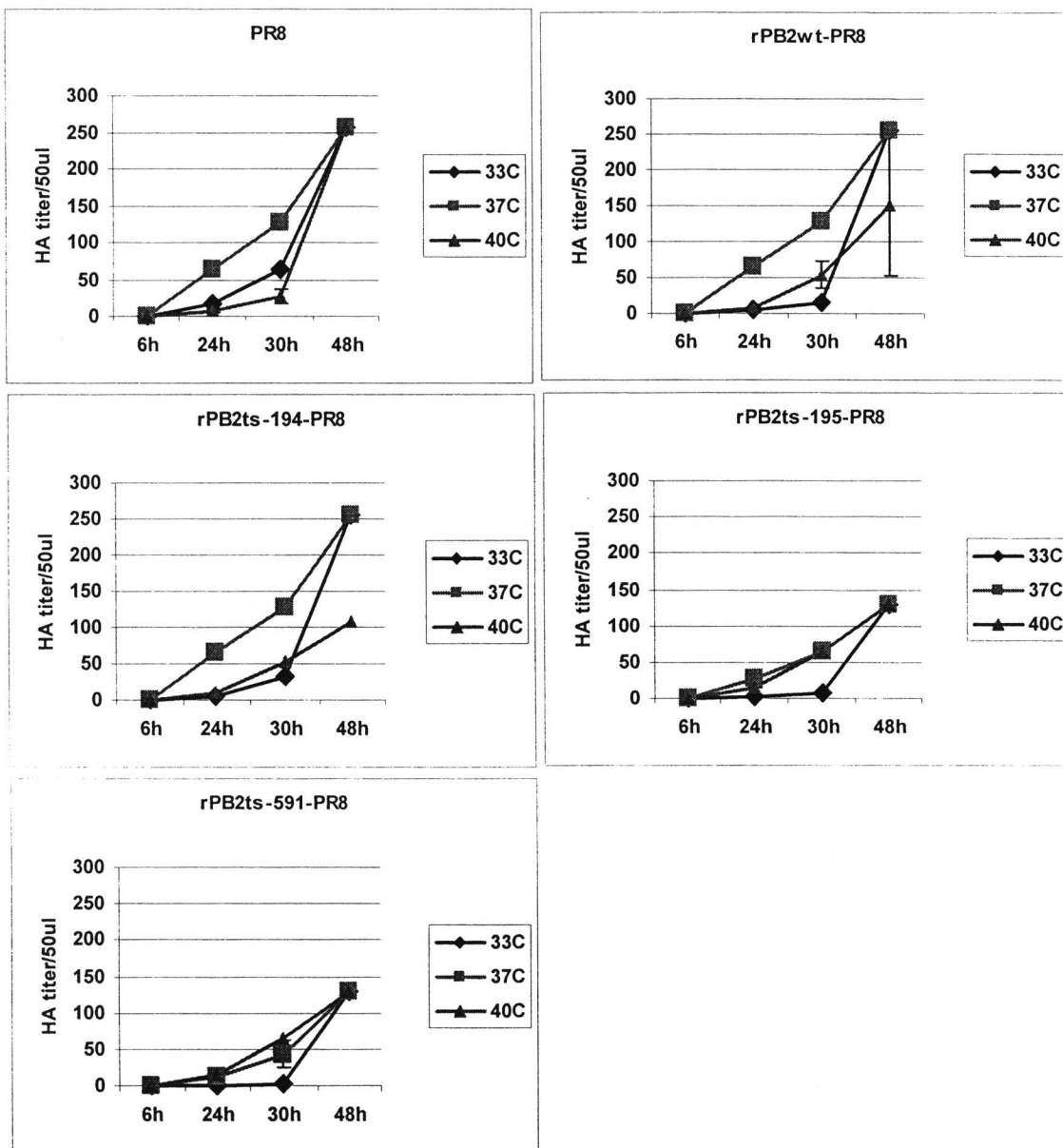
gene	Amino acid position	Wild type (WT)	Temperature sensitive (Ts)
PB2	194	Glutamine (Q)	Histidine (H)
	195	Aspartic acid (D)	Tyrosine (Y)
	591	Glutamine (Q)	Arginine (R)
PB1	554	Aspartic acid (D)	Asparagine (N)
PA	448	Alanine (A)	Glutamic acid (E)
NP	314	Serine (S)	Asparagine (N)
HA	-	-	-
NA	-	-	-
M	-	-	-
NS	-	-	-

### 3. การศึกษา genetic determinant ของไวรัส SPts20 ต่อการเจริญเติบโตที่ 40 °C

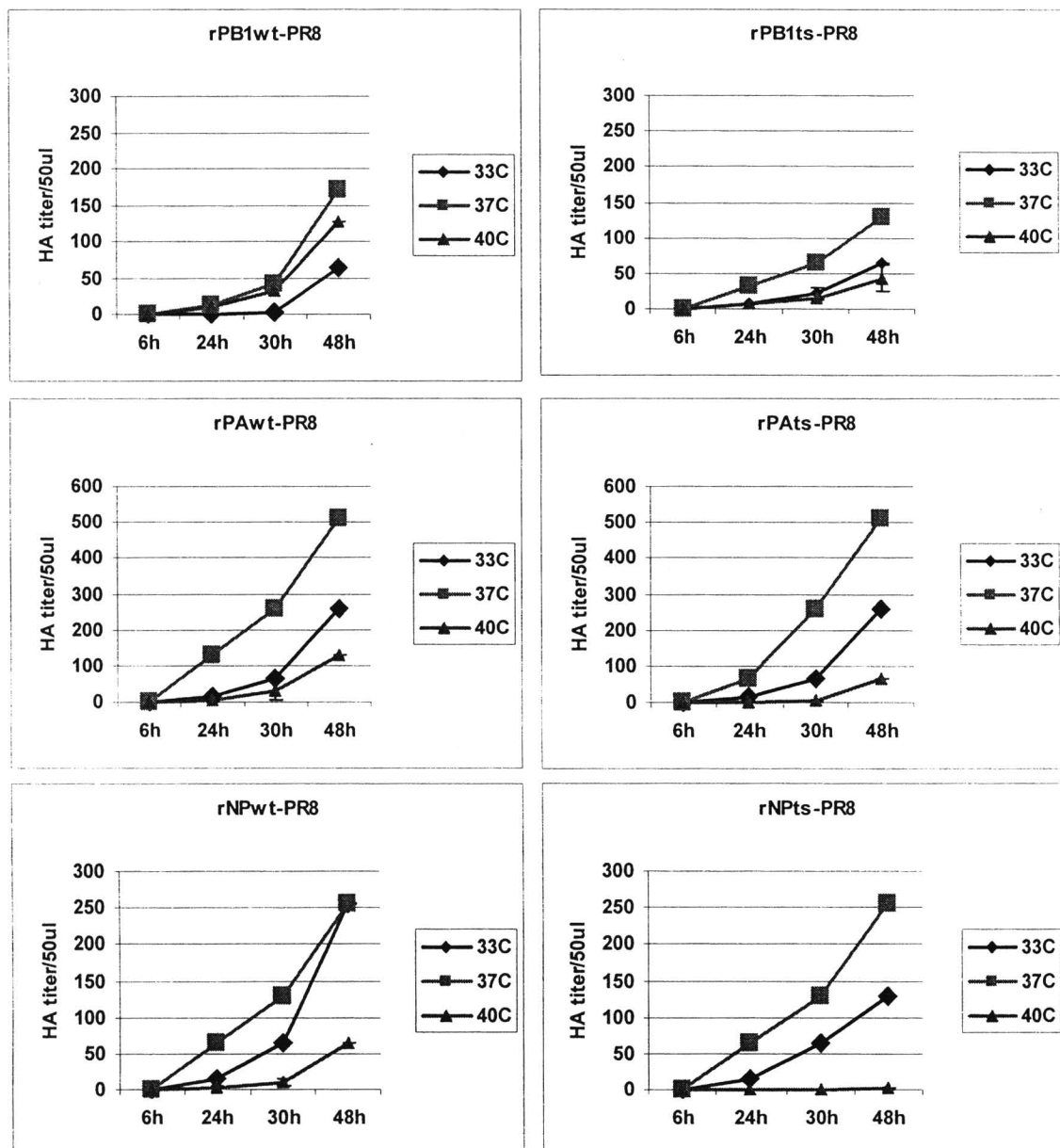
จากการศึกษา nucleotide และ amino acid sequence ของเชื้อ SP83 ทั้ง wild type และ ts พบว่า ยีนและตำแหน่งที่น่าจะเป็น genetic determinant ที่สำคัญสำหรับการเจริญที่ 40 °C นั้นพบใน polymerase complex เท่านั้น ดังนั้นในการสร้างไวรัสเพื่อนำมาทดสอบ phenotype ของไวรัสเพื่อตอบ คำถามวิจัยจึงทำการสร้าง reassortant ไวรัสที่มียีนของ SP83 ts แต่ละชิ้นร่วมกับไวรัส SP83 wt แต่เนื่องจากการศึกษานี้ได้ทดลองสร้างไวรัส H5N1 ทั้ง 8 gene ด้วยวิธี reverse genetic ไม่สำเร็จทำให้ต้อง ทำการสร้าง reassortant ไวรัส โดยผสมยีน PB2,PB1,PA,NP ของทั้ง SP83 wild type และ SP83ts20 ร่วมกับ HA, NA, M, NS ของ PR8 ไวรัส แทน ดังแสดงรายชื่อในตารางที่ 2 นอกจากนี้ในยีน PB2 ของ ไวรัส SP83ts20 มี amino acid sequence ต่างจาก wild type 3 ตำแหน่งดังแสดงในตารางที่ 3 ดังนั้น การทดลองได้ทำการสร้าง reassortant ไวรัส ที่มี single point mutation ในยีน PB2 ของ SP83-WT ให้มี amino acid sequence เหมือน SP83ts20 ร่วมกับ 7 ยีนของ PR8 ไวรัส เพื่อนำมาศึกษาลักษณะ phenotype ใน การเจริญที่ 33 °C, 37 °C และ 40 °C ใน MDCK cell (ทำการศึกษาการเจริญเติบโตที่ 33 °C เพิ่มเติมด้วยเนื่องจาก reassortant ไวรัสมี permissive temperature ณ อุณหภูมินี้) จากการศึกษา

kinetic growth curve ของ reassortant ไวรัสยีนชนิดต่างๆของ SP83 (H5N1) ไวรัส ใน back bone PR8 ได้แก่ PB2 (rPB2wt-PR8, rPB2ts-194, rPB2ts-195, rPB2ts-591-PR8), PB1 (rPB1wt-PR8, rPBts-PR8), และ PA (rPAwt-PR8, rPAts-PR8) พบว่าไวรัสทั้งหมดดังกล่าวสามารถเพิ่มจำนวนได้ดีที่ อุณหภูมิ  $40^{\circ}\text{C}$  ดังแสดงในรูปที่ 11.1-11.2 สำหรับไวรัสที่มีผลลัพธ์ของการเจริญเติบโตที่  $40^{\circ}\text{C}$  อย่างชัดเจนเมื่อเปรียบเทียบกับ wild type virus ได้แก่ ไวรัสที่มี NP gene ของ SP83ts20 (rNPts-PR8) เนื่องจากไวรัสดังกล่าวลดความสามารถในการเพิ่มจำนวน ณ อุณหภูมิ  $40^{\circ}\text{C}$  ลงถึง 64 เท่า หรือ 2-3 logs เมื่อเปรียบเทียบกับ rNPwt-PR8 (ณ 48 ชั่วโมง post infection ณ อุณหภูมิ  $33^{\circ}\text{C}$  หรือ  $37^{\circ}\text{C}$ ) ดังแสดงในรูปที่ 11.2 (HA titer) และรูปที่ 12 (TCID50) ซึ่งลักษณะ phenotype ดังกล่าวนี้เป็นลักษณะเฉพาะที่พบใน MDCK cell (mammalian cell) แต่ไม่พบความแตกต่างของความสามารถในการเจริญ ณ อุณหภูมิ ต่างๆใน chicken embryo fibroblast (CEF; avian cell) ดังแสดงในรูปที่ 13 (HA titer) และ 14 (TCID50) ซึ่งพบว่าไวรัส rNPwt-PR8 และ rNPts-PR8 สามารถเจริญเติบโตได้ไม่แตกต่างกันทั้งอุณหภูมิ  $37^{\circ}\text{C}$  และ  $40^{\circ}\text{C}$

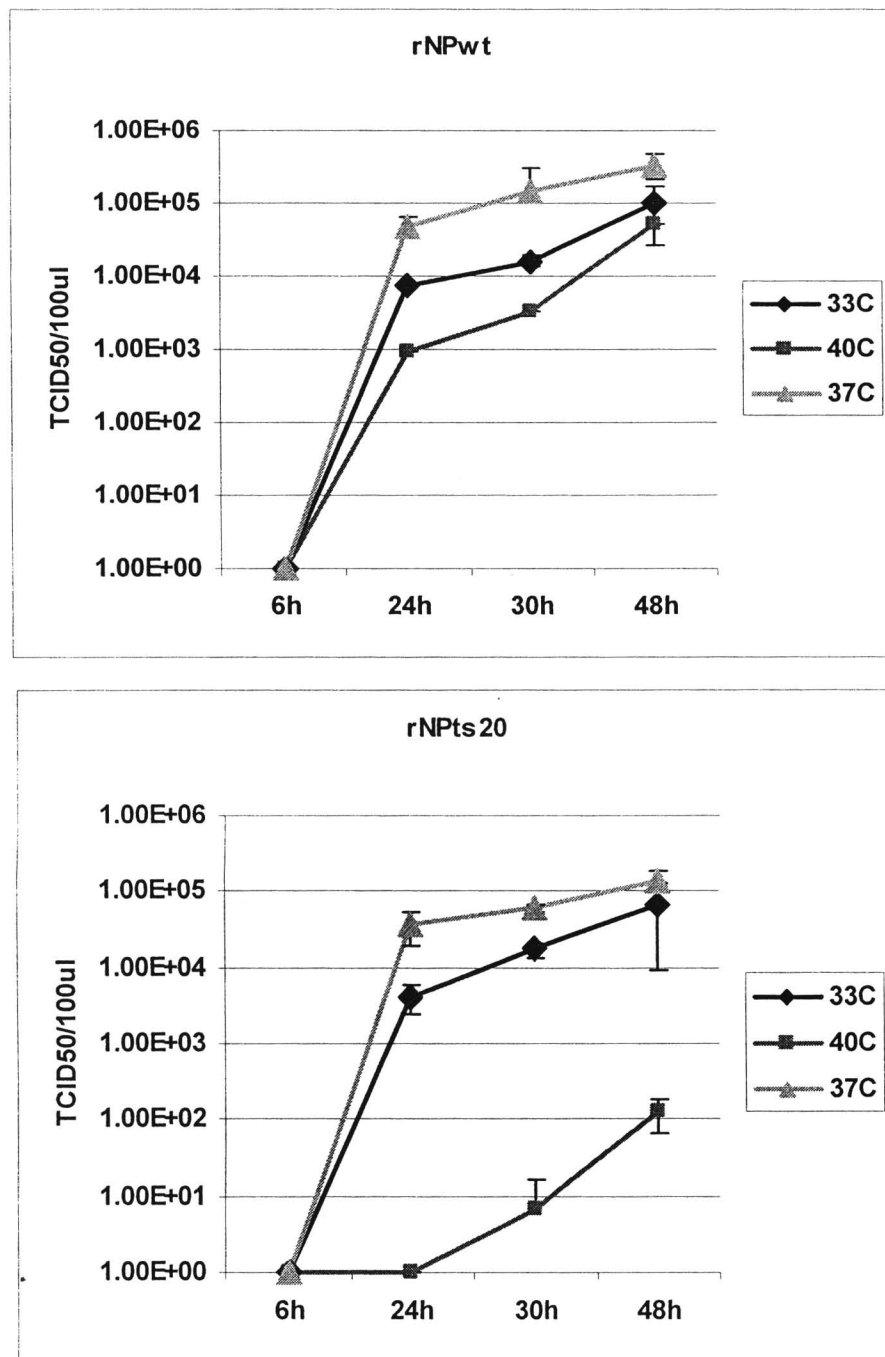




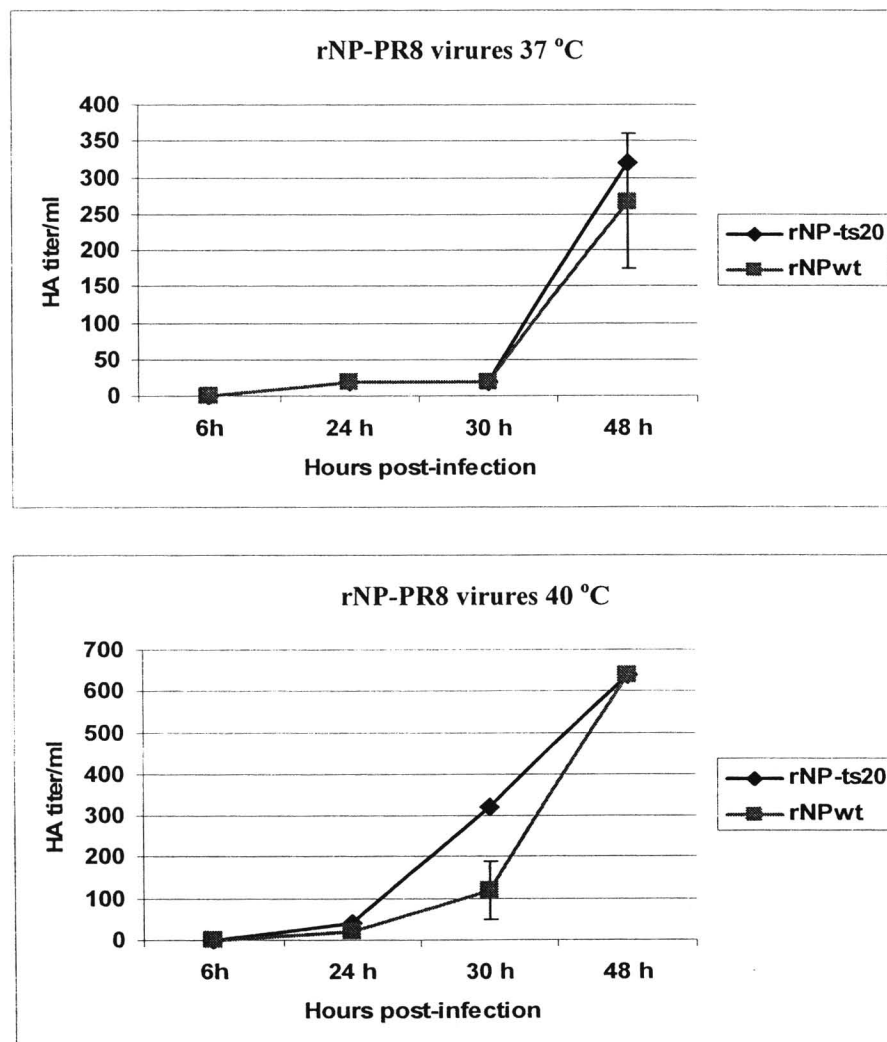
รูปที่ 11.1 ภาพแสดงการเปรียบเทียบ kinetic growth curve ระหว่าง wild type PR8 และ PB2wt, PB2ts-194, PB2 ts-195, PB2ts-591-PR8 reverse genetic virus ใน MDCK cell ณ อุณหภูมิ 33 °C, 37 °C และ 40 °C โดยแสดงปริมาณเป็น HA titer/ml ซึ่งค่าที่แสดงได้มาจากการทำซ้ำกัน 3 ครั้ง



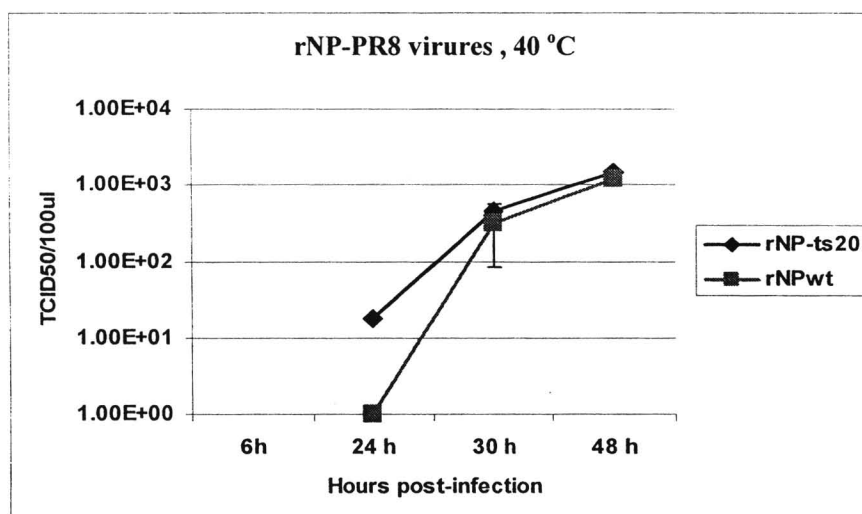
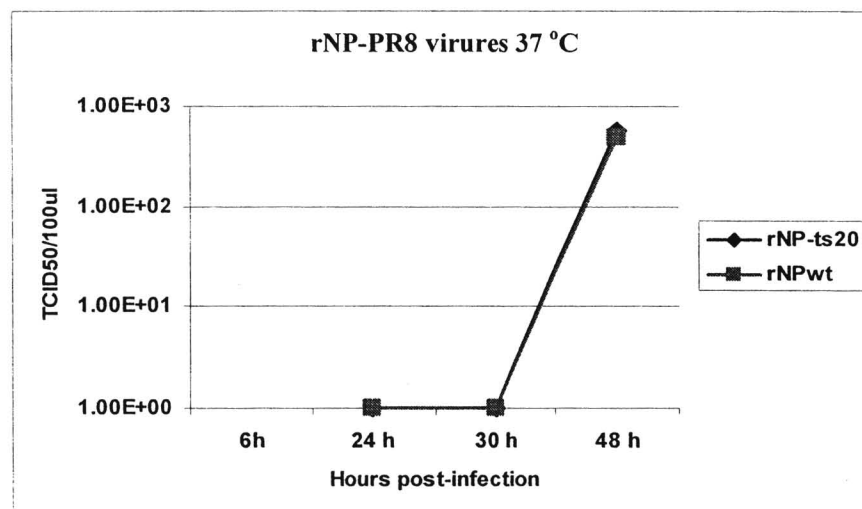
รูปที่ 11.2 ภาพแสดงการเปรียบเทียบ kinetic growth curve ระหว่าง wild type PR8 และ PB1wt, PB1ts, PAwt, Pats, NPwt, NPts-PR8 reverse genetic virus ใน MDCK cell ณ อุณหภูมิ 33 °C, 37 °C และ 40 °C โดยแสดงปริมาณ HA titer/50ul ซึ่งค่าที่แสดงได้มาจากการทำซ้ำกัน 3 ครั้ง



รูปที่ 12 ภาพแสดงการเปรียบเทียบ kinetic growth curve ใน MDCK cell ระหว่างไวรัส rNPwt-PR8 และ rNPs-PR8 reverse genetic virus ใน MDCK cell ณ อุณหภูมิ 33 °C ,37 °C และ 40 °C โดยแสดงปริมาณเป็น TCID50/100ul ซึ่งค่าที่แสดงได้มาจากการทำซ้ำกัน 3 ครั้ง



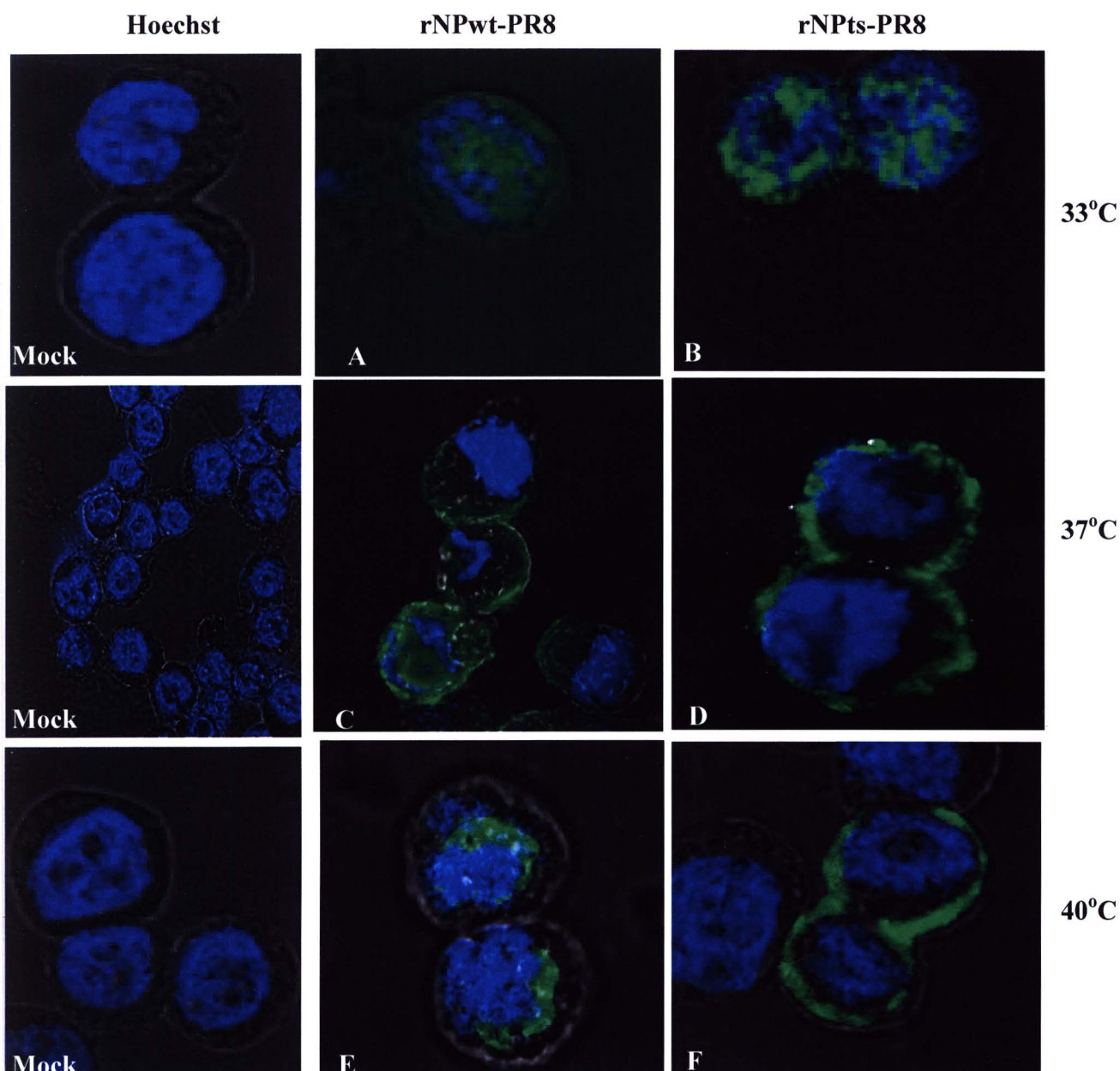
รูปที่ 13 ภาพแสดงการเปรียบเทียบ kinetic growth curve ระหว่างไวรัส rNPwt-PR8 และ rNP-PR8 reverse genetic virus ใน chicken embryo fibroblast (CEF) cell ณ อุณหภูมิ 37 °C และ 40 °C โดยแสดงปริมาณเป็น HA titer/ml ซึ่งค่าที่แสดงได้มาจากการทำซ้ำกัน 3 ครั้ง



รูปที่ 14 ภาพแสดงการเปรียบเทียบ kinetic growth curve ระหว่างไวรัส rNPwt-PR8 และ rNPs-PR8 reverse genetic virus ใน chicken embryo fibroblast (CEF) cell ณ อุณหภูมิ 37 °C และ 40 °C โดยแสดงปริมาณเป็น TCID<sub>50</sub>/100ul ซึ่งค่าที่แสดงได้มาจากการทำซ้ำกัน 3 ครั้ง

#### **4. NP mutation S314N มีผลต่อการขนส่ง NP protein เข้าสู่ nucleus**

NP เป็นโปรตีนที่ประกอบอยู่ใน viral ribonucleoprotein (vRNP) complex ซึ่งจะถูกขนส่งเข้าสู่ nucleus โดยโปรตีน importin  $\alpha$  จากการศึกษา nuclear localization ของ NP wild type เทียบกับ NPTs20 พบว่า การที่ amino acid เป็น Serine (S) เป็น Asparagine (N) นั้นมีผลกระทบกับการขนส่ง NP เข้าสู่ nucleus ณ อุณหภูมิที่ 37 และ 40 องศาเซลเซียส โดย NP จะค้างอยู่ที่บริเวณ cytoplasm เท่านั้น ในขณะที่การกระจายตัวของ NP ของทั้ง wild type และ NPTs20 ณ อุณหภูมิ 33 องศาเซลเซียสนั้น กระจายตัวได้ทั้งใน nucleus และ cytoplasm ดังแสดงในรูปที่ 15



รูปที่ 15 การศึกษา Localization ของโปรตีน NP ใน 293T cells ณ อุณหภูมิ 33°C (A,B), 37°C (C,D) และ 40°C (E,F) plasmid 1 µg ถูก tranfect เข้าใน 293T cells ซึ่งโปรตีน NP ถูกวัดด้วยวิธี indirect immunofluorescence assay โดยย้อมด้วย specific antibody และ FITC conjugate , สำหรับ nucleus ของ Cell ถูกย้อมด้วยสี Hoechst.

